

تصميم وتصنيع مقدره مدى ليزرية تعمل بالطول الموجي (10.6µm)

د. عدوية جمعة حيدر *

تاريخ التسلم : 2002/11/20

تاريخ القبول: 2005/6/21

الخلاصة

يهدف البحث الى تصميم وتصنيع منظومة ليزر (TEA-CO₂) صغيرة الحجم بطول موجي (10.6µm) تعمل بصورة مغلقة يعمر تشغيلي طويل نسبيا . تعد هذه المنظومة ضرورية لاسباب عديدة ترتين بمواصفات الخرج الليزرية ضمن تطبيقات عديدة منها الصناعية والطبية والعسكرية وخاصة ضمن التطبيق الذي نحن بصدده في هذا البحث وهو قياس المدى. تتكون مقدره المدى الليزرية من منظومة ليزر TEA-CO₂ كمرسلة ليزرية داخلية فعالة بالابعاد (130*20*6)mm، نحصل منها على نبضات ذات طاقة عظيمة (70mJ) وبزمن نبضة (120 nsec) وبتردد (1 Hz). استخدمت كواشف (Hg Cd Te) من نوع التوصيلية الضوئية لتحسس النبضات المرسله والمستلمة مجهزة بنافاذة بصرية قطرها (30mm). للاغراض التعبوية تم تشغيل المنظومة بصورة مغلقة باستخدام عامل مساعد صلب وتم قياس مدى قدره (15km) .

Design and Construction of a Laser Range-Finder at (10.6µm)

Abstract

Due to present importance of laser range-finders and their applications several industrial, medical and military applications, especially range finding, require the use of long life sealed off mini-TEA-CO₂ laser systems operating at (10.6 µm) Designing and constructing such systems and represents the main aim of this work.

The Laser range finder includes TEA-CO₂ system as laser transmitter with interactive cavity with (130*20*6) mm dimensions, maximum out put energy (70mJ) with plus duration (120nsec) and frequency (1Hz). A photo conductive (Hg Cd Te) detector was used to detect the transmitted and received pulse The device is used as received system and supplied with objective lens (30mm) diameter. Due to the mobilization requirements, the laser system was sealed using solid catalyst. The maximum range measured is (15km).

1 - المقدمة

بدأت أولى التجارب باستخدام الأشعة الكهرومغناطيسية في قياس سرعة الضوء من قبل الباحثين (Fizeau & Michelson) وذلك عام 1850، إذ تم حساب زمن الذهاب والاياب للضوء العادي وبمعرفة المسافة تم حساب سرعة الضوء التي اعتبرت فيما بعد الطريقة المثلى لقياس المسافة [1].

في مطلع الستينات وباكتشاف اشعة الليزر بدأ الحديث عن امكانية استخدام اشعة الليزر في العديد من التطبيقات ومنها استخدامه في قياس المسافات. استخدم ليزر الياقوت (Ruby laser) العامل بالطول الموجي ($0.693\mu\text{m}$) في تصنيع مقذرات المدى الليزرية، الا ان محدودية استخدامه بمعدل تكرارية عالي واتساعه المرئي حددت من امكانية استخدامه لقياس المدى او تاثير الاهداف بدقة (Designator) [3,2].

بعد ذلك تم استخدام ليزر النيديميوم-ياك (Nd:YAG) بالطول الموجي ($1.06\mu\text{m}$) كبديل ملائم في تصنيع مقذرات المدى الليزرية وذلك لقابليته على العمل بمعدل تكرارية عال ولانبعائه بمديات الاطوال الموجية تحت الحمراء القريبة غير المرئية التي جعلته مناسباً من الناحية التوعوية لاستخدامه في تقدير المدى.

عند اكتشاف ليزر ثنائي اوكسيد الكربون (CO_2) علم Patel 1964 [4]، حصل تطور كبير في استخدامه في مختلف التطبيقات العلمية والصناعية والعسكرية ومنه استخدامه في تصنيع مقذرات المدى الليزرية العاملة بالطول الموج ($10.6\mu\text{m}$)، إذ تتعكس نبضة ليزر (TEA-CO_2) من الهدف ويتم كشفها باستخدام كواشف مبردة الى درجات حرارية لحدود (77K) مثل كاشف (Hg Cd Te)، ويتم حساب المدى بنفس التقنية سالفة الذكر.

لاحتياج مثل هذه التطبيقات الى طاقة خرج كبيرة وانما تتطلب الجمع ما بين الحجم الصغير للمنظومة وطول عمر الاشتعال

واحيانا موافقة (تنعيم) خط الانبعاث الطيفي ومعدل التكرارية العالي ويفضل في بعض الاحيان احداث تدوير للغاز الذي يمثل الوسط الليزري الفعال عن طريق وحدات تدوير الغاز لزيادة كفاءة المنظومة. يتم تشغيل المنظومة عادة بمديات الضغط الجوي وبكفاءة عالية فيما يتم تشغيلها في بعض الاحيان بضغط يعادل اضعاف الضغط الجوي، وتكمن المشكلة الرئيسية في مثل هذه المنظومات الليزرية المغلقة في قصر العمر الزمني للاشتغال والناجم عن تحلل (تكك) غاز ثنائي اوكسيد الكربون في اثناء الضخ بالتفريغ الكهربائي الذي يحدد العمر الزمني للمنظومة، إذ يتطلب تغيير الوسط الفعال بعد (5000-2000) نبضة خارجة.

تم تجاوز المشكلة اعلاه باستخدام عامل مساعد لاعادة الاتحاد لمكونات الوسط الفعال المتفكك وبالتالي زيادة الكفاءة والعمر الزمني للمنظومة، ومثال على ذلك استخدام سلك البلاتين الساخن كعامل مساعد في ليزرات CO_2 لأول مرة من قبل الباحث Stark عام 1975 [5].

في بحثنا هذا فقد تم تصنيع انواع مختلفة من العوامل المساعدة الصلبة (غير المتجانسة) المعدة لهذا الغرض وتجربتها.

ازدادت التوجهات العالمية الحديثة نحو استخدام ليزر CO_2 عن بقية انواع الليزرات الاخرى لامتلاكه العديد من الميزات، منها موائمة استخدامه في العديد من اجهزة الرؤية الليلية العاملة بمديات الاطوال الموجية ($8-14\mu\text{m}$) وهذا يمكن من استخدام نفس المجاميع البصرية للعمل مع نظامين مما يعطي سهولة الاستخدام وبكلفة اقل واكثر فاعلية من باقي انواع مقذرات المدى الليزرية الاخرى كالتى تستخدم ليزر Nd:YAG. كما ان الطول الموجي ($10.6\mu\text{m}$) المنبعث من ليزر CO_2 يقع ضمن النافذة الجوية (8- $14\mu\text{m}$) مما يجعل انتقاله في الجو اقل توهينا مقارنة بالاطوال الموجية لليزرات العاملة

ضمن مراحلها متوخين الاسلوب العلمي في تنفيذ مراحل الانجاز للعناصر الآتية:

أولاً: المرسلات الليزرية

تم اعتماد ليزر CO_2 النبضي مصدراً للنبضات الليزرية المستخدمة في قياس المدى. ان تصنيع مثل هكذا منظومات يتطلب تصنيع الرأس الليزري ومكوناته ومجيز القدرة ومنظومات السيطرة ولتصنيع الرأس الليزري هناك بعض الامور يجب ان تؤخذ بنظر الاعتبار في اثناء التنفيذ وهي:

أ- شكل الاقطاب الرئيسية وتصميمها وعلاقة وثيقة بانتظامية التفريغ الكهربائي على طول الاقطاب الرئيسية المسماة اقطاب المجال المنتظم (Uniform field electrodes).

ب- قصر نبضة التيار، اذ يجب ان يكون زمن هذه النبضة اقل من زمن تكون الاقواس الكهربائية والذي يكون بحدود $(10^{-3}-10^{-4})$ sec [5,8].

ج- تصميم المؤين الاولي، ونوعه مع مراعاة الفاصلة الزمنية مابين التاين الاولي والتفريغ الرئيسي عند تصميم الدائرة الكهربائية المستخدمة للتفريغ.

د- كفاءة التحويل من الطاقة الكهربائية المخزونة بالمتسعات الى التفريغ التوهجي لتحقيق التوزيع المعكوس في ليزرات CO_2 النبضي. يعتمد هذا بشكل اساسي على النسبة مابين المجال الكهربائي الى الكثافة الالكترونية (E/N) وتتغير حسب نوع الدائرة الكهربائية المستخدمة.

هـ- الخصائص الكهروكيميائية للخليط الغازي.

1- الجزء الميكانيكي

حجرة الليزر اسطوانية الشكل ومصنعة من مادة البيريسبيكس بقطر خارجي (100mm) وبقطر داخلي (60mm) وبطول

الآخري، علاوة على ان تأثيره على العين البشرية اقل خطورة من ليزر Nd:YAG وذلك لامتناعه من قبل السائل البصري لعدسة العين والذي يحول دون وصوله الى الشبكية واتلافها [6].

من الناحية التجريبية فان منظومات الاستمکان المعادية والعاملة في الجيوش تستند بشكل رئيس على الطول الموجي ($1.06\mu\text{m}$) لليزر النيديميوم -ياك مما يجعل من الصعب استمکان مقدرات المدى العاملة بالطول الموجي ($10.6\mu\text{m}$) والذي يتطلب تكاليف عالية لتأمينها من قبل الجهات المعادية.

يمتاز ليزر CO_2 بامكانية انبعائه بمديات اطوال موجية متعددة ضمن الحزمة الطيفية لانبعائه والذي يسهل من اختيار المرشح البصري الملانم لاستخدامه مع الكاشف المناسب مقارنة مع صعوبة الاختيار في منظومات ليزر النيديميوم-ياك والذي يعمل على مدى ضيق من الاطوال الموجية.

أخيراً فان منظومات ليزر CO_2 لها فاعلية اكبر عند استخدامها في منظومات الكشف الهيتروداينمي مما يعقد عملية التشويش على هذه الاجهزة عند استخدامها في تقدير المدى او التطبيقات الآخري. فالاساس الذي يقوم هذا القياس (قياس المدى) هو ارسال نبضة صوتية قصيرة الامد ذات شدة عالية الى شاخص ماء، وقياس الزمن الذي تستغرقه النبضة المنعكسة من الشاخص المراد تقدير مداه بالاعتماد على سرعة الضوء في حساب المسافة [7].

2. الجزء العملي

تتكون المقبرة المصنعة بشكل عام من ثلاث عناصر رئيسية هي المرسلات الليزرية والمستقبلات الليزرية وحاسوب المدى، ولتنفيذ عمل هذه العناصر الرئيسية، فقد وضعنا المخطط الكلي الموضح في الشكل (1) والذي يمثل اهم خطوات العمل والاسبقية الواجب مراعاتها في عملية التنفيذ، وقد انجز العمل

الفاصلة بينهما (200mm). اما موسع الحزمة المستخدم فكان من نوع Galilian [12,11] ويتكون من عدستين احدهما شبيثة موجبة والاخرى عدسة عينية سالبة مصنعة من مادة ZnSe بمعامل انكسار 2.403 ليزر CO₂. وباستخدام برنامج (G11) تم الحصول على النتائج الموضحة بالجدول (1) ومنها تم حساب معامل التكبير وبالتالي تم الحصول على تعريض للحزمة خمس مرات من القيمة الاولى، اما الانفراسية فانها قلت بمقدار (0.18).

2- مجهزات القدرة ومنظومات السيطرة

يتضمن تصميم مجهزة قدرة نوع (DC-DC) وتصنيعها لتشغيل المنظومة جميع مراحل السيطرة الالكترونية الخاصة بالمنظومة التي تتضمن بناء دوائر الشحن والقذح والتذبذب وللأغراض التعويضية أجرى تصميم وتصنيع مجهزة قدرة (DC-DC) ذي كفاءة عالية. يوظف هذا المحول بطاريات قابلة للشحن وتوظف عادة البطاريات القلوية لتوفرها وقلة كلفتها وأمانيتها عملها في درجات الحرارة الوطنية. مجهز القدرة المصنع موضح بالشكل (3)

تقوم هذه الدائرة بتجهيز فولتية مستمرة قيمتها حوالي (30KV) من بطارية (24V). مبدأ عمل هذه الدائرة مبني على اساس تحويل تيار مستمر الى تيار متناوب ثم رفعه عن طريق محولة رافعة ثم تتم عملية مضاعفة الخرج مرات عديدة وتحويله الى فولتية مستمرة بما يعرف بمضاعف الفولتية (Voltage multiplier).

استخدمت في البحث الدائرة الكهربائية من نوع دائرة انتقال الشحنة (دائرة التفريغ المباشر) لما تمتاز به هذه الدائرة في كونها دائرة تفريغ سريعة وذات حثية قليلة، ويوضح الشكل (4) مخطط الدائرة الكهربائية باستخدام انواع اقطاب التاين الاولى من اشباه الموصلات (Si, Ge, SiC) مع كيفية وضع

(200mm) تحتوي على فتحات رئيسية لدخول الغاز وخروجه وفتحات اخرى للتوصيلات الكهربائية للفولتية العالية والارضى، وتقع في جهتيها الامامية والخلفية المرأتان، والشكل (2) يوضح التركيب العام للمنظومة المصنعة.

استخدمت في تصميم النموذج الاقطاب الرئيسية المعدة في هذه الدراسة ذات شكل قطب نوع 8th-order Ernst-profile الذي تم تشغيله بموجب برنامج جرى اعداده بالحاسوب. اذا كانت ابعاد الاقطاب، اما فيما يخص اقطاب التاين الاولى فقد استخدمت مواد شبه موصلية (Ge, Si) كاقطاب تاين اولي بشكل شرائح مستطيلة وابعاد (130x20) mm³ و (100 x 20 x2) mm³ وبمقاومة تتراوح بين (150 و 200) Ω.cm بالنسبة لمادة السليكون Si وبمقاومة (4.8-50) Ω.cm بالنسبة لمادة الجرمانيوم.

يتطلب تصنيع مقدرات المدى الليزرية الغازية وليزر CO₂ على وجه الخصوص وللأغراض التعويضية عوامل مساعدة صلبة لاطالة عمر المنظومة وسهولة حملها واستخدامها. ومن خلال استقراءنا للعوامل المساعدة المستخدمة في منظومات ليزر CO₂ اعتمدنا العامل المساعد من فلز البلاديوم مرسب من محلوله (كلوريد البلاديوم) على سطوح حبيبات الالومينا (Al₂O₃) لامتلاكه قابلية عالية لامتزاز CO وخصوصاً O₂ مقارنة مع العوامل المساعدة الاخرى. اذا وضع العامل المساعد في حجرة مخصصة له صممت ضمن التصميم العام لحجرة الليزر [10,9]

يتكون المرنان البصري المستخدم في المنظومة من مرأتين متوازيتين تماما احدهما عاكسة كلياً (100%) وتمثل المرآة الخلفية وهي مصنوعة من النحاس المطلي بالذهب بسمك (5mm) والاخرى عاكسة جزئياً وتمثل المرآة الامامية. انعكاسيتها (60%) وبسمك (3mm) ومصنوعة من مادة الجرمانيوم (Ge) وبقطر (50mm) لكل من المرأتين والمسافة

تصميم وتصنيع مقدره مدى لوزرية نعمل بالطول
الموجي ($10.6\mu\text{m}$)

$$\beta = \frac{2.44 f \lambda}{D}$$

$$= \frac{2.44 \times 61.45 \times 10.6 \mu\text{m}}{25\text{mm}}$$

$$= 63.57 \mu\text{m}$$

اذ ان D قطر العدسة المستلمة
(25mm)، ويعمل هذا المرشح (الصفحة) على
تقليل مقدار الضوضاء المستلمة على الكاشف.

ثالثاً: الجزء الإلكتروني

قبل الدخول الى كيفية حساب المدى، يجب
التعرف على بعض الدوائر المكونة، وهي:

- 1- دوائر قياس التردد (Frequency measurement circuit)
- 2- دوائر مقسم التردد (Prescaler)
- 3- حاسوب المدى (Range computer)

1- دائرة قياس التردد

في عملية قياس التردد جرى استخدام
الدائرة المتكاملة (ICL 7216) التي تقوم بقياس
تردد يصل الى (10MHz) ، ان من مميزات
هذه الدائرة انها سهلة الربط نسبياً مع امكانية
زيادة التردد المقاس، علاوة على انه يتم ربطها
مباشرة مع عارضة ذات ثمانية مراتب.

2- دائرة مقسم التردد

تقوم هذه الدائرة بتقسيم التردد الداخل
من المنظومة وان الغرض من عملية التقسيم
هو تقليل قيمة التردد الداخل بنسبة معلومة لان
التردد الاتي من المنظومة يعتبر عالياً بالنسبة
لمقياس التردد المستخدم.

ان الدائرة المتكاملة المستخدمة هي
من نوع SP8793 وكما مبين ربطها في الشكل
(6)، تكون نسبة التقسيم فيها (40) وتعمل على
تردد يصل الى (225MHz). من الجدير
بالذكر ان نسبة الخطأ في القراءة تزداد مع
زيادة نسبة التقسيم، لذلك تم استخدام نسبة
معقولة (40) للحصول على قراءة بدقة مقبولة.

الشرائح (القطاب التانين الاولي) على جانب
الاقطاب الرئيسية اذ تم وضعها بشكل حرف
(V) ومرة بشكل مستوي وتم استخدام فجوة
قدح (ثلاث اقطاب) مصنعة محلياً كمفتاح
سريع ومتسعة خزن ($C_1=12\text{nF}$) ومتسعة
التانين الاولي ($C_2=5\text{nF}$) والمتسعتين من النوع
السيراميكي واطى الحث.

ثانياً: المستقبلة البصرية

1- التلسكوب البصري

ان مبدأ عمل التلسكوب البصري
معاكس لمبدأ عمل موسع الحزمة الذي يعمل
على زيادة قطر الشعاع الخارج منه وتقليل
الانفراجية، بينما يعمل التلسكوب البصري على
تجميع الأشعة وتركيزها ضمن مساحة ضيقة
هي مساحة الكاشف.

يتم استخدام عدسة شينية واحدة بقطر
(30mm) ، واما الجزء الثاني من المستقبلة
البصرية فهو الكاشف الفوتوني نوع
(HgCdTe) ، والشكل (5) يوضح ترتيب
اجزاء المستقبلة للليزرية.

يمكن حساب مجال الرؤية للمستلم
(θ_R) من خلال النسبة ما بين حجم الكاشف الى
البعد البؤري لعدسة المستلم اذا كانت بمقدار
(0.932mrad). يمكن تحديد مجال الرؤية
للمستلم باستخدام مرشح إيقاف (Field stop
filter) كما مبين في شكل (5) ، ويمكن
حساب نصف قطر فتحة هذا المرشح
(Diameter of pinhole)(d) بالمعادلة الآتية:

$$d = f \cdot \tan \theta_R$$

$$= 61.45 \cdot (\tan(0.952)) = 1\text{mm}$$

حيث ان d: قطر العدسة المستلمة،
 θ_R : مجال الرؤية للمستلم، f: البعد البؤري
لعدسة المستلم.

يمكن حساب مقدار قطر الدائرة
المضيئة المركزية (Diameter of airy disc
(Diameter of airy disc for circular aperture)
مساحتها (1mm^2) من المعادلة الآتية:-

طاقة خارجة وفي حالة (SiC) تكون الطاقة الخارجة (70mJ) عند افضل متسعة خزن (12nF).

ان زيادة قيمة سعة المتسعة (Cs) ادت الى نقصان الفولتية المثلى للتشغيل وبالتالي نقصان الطاقة الخارجة، وكذلك وجود قيمة مفضلة لخزن الطاقة والسبب يعود الى زيادة اعظم طاقة منقولة الى الوسط البلازمي والمعطاة بالمعادلة الاتية [13]:

$$E_p = 2C_s(V_0 - V_d)V_d$$

اذ ان V_0 : الفولتية المسلطة على الاقطاب افرئيسية، V_0 فولتية المصدر تم استنتاج علاقة بيانية بين مقدار الطاقة الخارجة والطاقة المخزونه في المتسعة موضحة في الشكل (9) التي منها تم تحديد كفاءة المنظومة والتي كانت بحدود (8.1%) وحسب المعادلة الاتية:

$$\eta = E_p/E_m$$

تم تحديد كفاءة العامل المساعد المستخدم (Pd/Al₂O₃) من خلال دراسة استقرارية طاقة الليزر الخارجة مع زمن التماس، وكما موضح في الشكل (10) الذي يوضح تغير طاقة الخرج الليزري في حالة عدم استخدام العامل المساعد اذ تستمر لفترة زمنية تقترب من (30min) لتتوقف بعدها، وهذا في حالة المنظومة المغلقة (Closed without catalyst). اما عندما تكون المنظومة في حالة الجريان المستمر (Continuous flow) بدون استخدام العامل المساعد فان الطاقة تكون بافضل حالاتها وكذلك الاستقرارية. ان هذه الحالة غير مرغوب بها بسبب الاستهلاك العالي للغازات المتفاعلة. اما الحالة الثالثة فتتمثل حالة المنظومة المغلقة مع استخدام العامل المساعد (Closed with catalyst). وفيها تم الحصول على طاقة خرج ليزري واستقرارية جيبتين، الا انه نون حالة الجريان المستمر، ومع ذلك فهي تعد الحالة الافضل (Optimum) والاكثر اقتصادية اذ يتم تدوير

3- حاسوب المدى

ان المهمة الاساسية لحاسوب المدى هي حساب الوقت من لحظة انطلاق نبضة الليزر الى وقت اكتشاف نبضة القدرة المنعكسة من الهدف. ان سرعة العداد تحدد اقل زيادة في المدى، لذلك فان عدادا بتردد (15MHz) يوفر دقة مقدارها (20m)، وعداد اخر بتردد (30MHz) يوفر دقة مقدارها (10m)، وان دقة بقيمة (5) تعتبر ملائمة لمعظم الحالات الموجودة وهنا يستوجب عدادا بتردد (60MHz). عند انتقال نبضة الليزر سوف تتولد نبضة على (الكاشف الفوتوني) وعند انعكاس هذه النبضة سوف تتولد نبضة اخرى بالشكل نفسه توقف العد فتصبح لدينا الموجة المبينة بالشكل (7).

ان تردد هذه الموجة يمكن ان يعطينا الزمن بين النبضتين ($t=1/f$) ومن معرفة الزمن وسرعة شعاع الليزر (سرعة الضوء) يمكننا حساب بعد (مدى) الهدف. ان المرحلة التي يتم فيها حساب الزمن تتطلب عملية رياضية هي عملية قلب التردد وهذه العملية يمكن تحقيقها باستخدام دوائر منطقية مختلفة. والشكل (7) يوضح مخطط لعملية الحصول على الزمن بين النبضتين.

3- المناقشة

لغرض تحديد اعلى طاقة خارجة تعمل بها المنظومة تم دراسة تغير الطاقة الخارجة مع الفولتية المسلطة لمختلف متسعيات الشحن وكما مبين بالشكل (8) الخاص بطريقة الشبه موصل نوع (SiC, Si, Ge).

لوحظ زيادة في الطاقة الخارجة مع زيادة الفولتية المسلطة ولحد قيمة معينة عند (12KV) في حالة استخدام (SiC) يتحول عندها التفريغ الكهربائي الى التفريغ القوسي. من ناحية اخرى، لوحظ ان الطاقة الخارجة تزداد عند زيادة قيمة سعة متسعة الخزن (Cs) لحد قيمة معينة ولنفس المدى من الفولتية المسلطة، ويتم الحصول على اعلى

لامبربات (Lambert law) ويعبر عنها رياضياً
بالمعادلة الآتية:

$$T_A = e^{-\sigma}$$

اذ ان: T_A : نفاذية وسط الانتقال، σ :
معامل التوهين الجوي بوحدة km^{-1} ويحسب
من المعادلة الآتية [14]:

$$\sigma = \left(\frac{3.91}{v_m} \right) \left(\frac{0.55}{\lambda} \right)^q$$

اذ ان: V_m : هو مدى الرؤية بوحدة
Km

ان معامل التوهين للاستطارة q يعتمد على
(V_m) ويعطى بالمعادلات الآتية:

$$q = 0.585(V_m)^{1/2} \text{ for } V_m < 6 \text{ km}$$

$$q = (V_m/30) + 0.86 \text{ for } 6 < V_m < 9$$

$$q = (V_m/50) + 0.98 \text{ for } 9 < V_m < 12$$

$$q = (V_m/200) + 1.15 \text{ for } 12 < V_m < 100$$

وتتراوح قيمة q بين (0.12-2.3) اعتماداً
على الطول الموجي. والجدول (3) يبين تغير
مقدار النفاذية الجوية (T_A) مع كل من R و
 V_m للطول الموجي 10.6µm.

4- يحسب مقدار القدرة الواصلة إلى
الهدف من المعادلة الآتية:

$$P_T = P_L \cdot T_T \cdot T_A$$

اذ ان: T_T : مقدار النفاذية خلال بصريات
الموسع وتساوي (65%) لكل من عدستي
ZnSe المستخدمتين، P_L : مقدار قدرة الليزر
الخارجة وتعطى بالمعادلة الآتية:

$$P_L = E_L / \tau_L = 70 \text{ mJ} / 120 \text{ nsec}$$

$$= 0.58 \text{ MW}$$

P_T : مقدار القدرة الواصلة إلى الهدف
وتساوي (0.31 MW).

5- مساحة الهدف المنطاة بحزمة الليزر
وتعطى بالمعادلة الآتية:

$$\frac{\pi}{4} \left(\frac{\alpha_L}{m_E} - R \right)^2 (m^2)$$

اما مساحة الهدف التي يمكن ملاحظتها من
خلال بصريات المستلم فقط فهي حسب
المعادلة الآتية [15]:

الغازات الموجودة نفسها في كل مرة بعد
مرورها على العامل المساعد ولمدة (48hr).

حسابات المدى

يعد قياس المدى من اهم القياسات في بحثنا
هذا الخاص بتصنيع مقبرة المدى حيث يمثل
الغرض الرئيسي من البحث . وقبل الخوض
في غمار هذا القياس لابد من استعراض
المواصفات الرئيسية لمقبرة المدى المصنعة
وفقاً للنتائج المستحصلة. ان هذه المواصفات
العامية صنعت بثلاثة اجزاء اساسية هما
المرسلة والمستقبلة ويمكن اعتبار حسابات
المدى وفق الاعتبارات الآتية:

1- معلمات حزمة الليزر المستخدمة:
كانت طاقة الليزر الخارجة من مرنان الليزر
المصنع وهو من نوع (planc-plane) مساوية
إلى (70mJ) بامد نبضة (120ns)، يتم عكس
(10%) من الطاقة (الشدة) الخارجة على
الكاشف الفوتوني مباشرة لبدء العد وتنفيذ
(90%) إلى الهدف على افتراض ان الهدف
بابعاد $(2.3 \times 2.3) \text{ m}^2$ على مدى (R) ، بعد
نفوذ النبضة من خلال موسع الحزمة والمكون
من عدستين من مادة (ZnSe) ذات نفاذية
(0.65) للطول الموجي (10.6µm) . علماً ان
حزمة الليزر الخارجة كانت بقطر (5mm)
وانفراجية $(\theta_{div}) = (1.355 \text{ mrad})$.

2- تم حساب كل من قطر الحزمة
الخارجة من بصريات موسع الحزمة فكان
مقدارها (13.25) وزاوية انفراج
(0.254mrad) بعد حساب مقدار التكبير (m_E)
لموسع الحزمة والذي كان مقدار (2.6) .
ولمعرفة مقدار قطر الحزمة اللازمة لتغطية
معظم مساحة الهدف على بعد معين تم عمل
جدول مابين قطر الحزمة والمدى (R) عند
زاوية انفراج (0.254) كما مبين في الجدول
(2).

3- حساب مقدار التوهين الجوي من
تأثيري الامتصاص والاستطارة على شدة
حزمة الليزر المنقولة بالجو وبموجب قانون

I_{ph} : التيار الضوئي، I_n : تيار الضوضاء
(الظلام)، P_D : القدرة الواصلة إلى الكاشف.

4- الاستنتاجات

من خلال تشغيل منظومة الليزر كمرسلة ليزرية لوحظ ان هناك استقرارية عالية في التفريغ الكهربائي الرئيسي من خلال الحصول على تفريغ توجيهي منتظم ملاً الحيز المحصور بين القطبين وهذا ناتج من انتظام الاقطاب الرئيسية المستخدمة بالبحث وهي اقطاب المجال الكهربائي المنتظم (Uniform electric field electrode من نوع Ernst profile). وتحسن كبير في تسلسل نبضات الليزر عند توظيف اقطاب تاين اولي من مادة Sic بحجم حبيبي يتراوح ما بين (46-150µm) مما يؤدي الى استقرار التفريغ الكهربائي للاقطاب الرئيسية - اذ تم الحصول مع طاقة خرجة مقدارها 70mJ باستخدام هذا النوع من الاقطاب الثانوية.

عند تشغيل المنظومة بصورة محكمة (مغلقة) وبدون استخدام العامل المساعد لوحظ نقصان في طاقة الحزمة الليزرية مع زيادة زمن التشغيل الناتج بسبب زيادة تراكيز الغازات المتحللة (O_2, CO) الناتجة من تفكك غاز CO_2 . ولأجل التخلص من تاثير تحلل غاز CO_2 وإطالة عمر اشتغال المنظومة المحكمة تم استخدام عامل مساعد من نوع (Pd/AlO_3) الذي ادى الى إعادة اتحاد الغازات المتفككة ونسبة (55%) وتركيزها. وأستنتج من خلال حسابات المدى النظرية ان مواصفات المرسله والمصدعة بالامكان استخدام المنظومة لقياس مديات أكثر من (15Km).

Reference

1. Forrester P.A., Hulme K.F., Optical and Quantum Electronics, vol.13, 1981, pp.259-293.
2. Corcoran V.F., CO_2 Laser Devices and Applications, SPIE, vol.227, 1980, pp.259-293.

$$\frac{\pi}{4}(\beta_R R)^2 (m^2)$$

اذ ان β_R : مجال الرؤية لبصريات المستلم (0.932)

عالية فان مقبرة المنعكسة من الهدف والواصلة الى الكاشف تعطي بالمعادلة الآتية:

$$P_S = R_T \cdot T_L \cdot T_A \cdot \rho \cdot (D_R / R^2) \cdot T_R \cdot \eta$$

$$\eta = \beta_R^2 (m_E / \alpha_L)^2$$

اذ ان ρ : انعكاسية الهدف (3%) ، D_R : قطر عدسة المستلم، T_R : نفاذية بصريات المستلم وتساوي (65%) باستخدام عدسة (ZnSe). في حالة عدم القدرة على تحديد مقدار قطر الحزمة المنعكسة الى الهدف باستخدام عدسات المستلم، فيمكن افتراض حالتين:

أ- $\eta = 1$ عندما $(\alpha_L / m_E) < \beta_R$ اذ يعطى مقدار القدرة الوصلة للكاشف بالمعادلة الآتية:

$$P_D = P_L \cdot T_L \cdot T_R \cdot T_A \cdot \rho \cdot D_R^2 / R^4 = 2.9 \mu W$$

ب- $\eta = \beta_R^2 (m_E / \alpha_L)^2$ عندما $(\alpha_L / m_E) > \beta_R$ ففي هذه الحالة تعطى القدرة الواصلة للكاشف بالمعادلة الآتية:

$$P_D = P_L \cdot T_L \cdot T_R \cdot T_A \cdot \rho \cdot D_R^2 \cdot \beta_R^2 (m_E / \alpha_L)^2 / R^4$$

6- يمكن معرفة أقصى مدى للكاشف ان يتحسسه بالاعتماد على خصائص ومعلمات الكاشف المستخدم (بعبارة اخرى، معرفة اقل قدرة يمكن للكاشف ان يتحسسها) باستخدام الكاشف الفوتوني (HgCdTe) المبرد [16] ، وكان مساوياً إلى (0.166×10^{-10} w). وحسب المعادلة أدناه:

ت- الكاشف النوعية (Specific detectivity) D^*

$$D^* = D \sqrt{A \cdot \Delta f} =$$

$$\frac{I_{ph} \sqrt{A \cdot \Delta f}}{I_n \times P_D} = 6.10^{10} \text{ cm} \cdot \text{Hz}^{1/2} \cdot \text{W}^{-1}$$

اذ ان: D^* : الكاشف النوعية (Specific detectivity) ، D : الكشفية (Detectivity)

11. R.T. Williams (2001) optics, Via internet:<http://www.spot.optics.com>.
12. Fundamental optics (2000), Via internet:<http://www.mellesgriot.com>.
13. Heeman-Ilieva M., PhD Thesis, Univ. of Twente, The Netherlands, 1994.
14. Bertolotti M., "Effect of Atmosphere on the Propagation of Laser beams", in lasers and Their Applications, edited by A.Sona, G&B(Italy), 1976.
15. Barmine J.W., Proc. SPIE, CO₂ Laser Devices and Applications, vol.227, 1980, pp.45-47.
16. Smith R.A., Jones F.E. and Chasmar R.P., The Detection and Measurement of Infrared Radiation, Oxford (UK), 1968.
3. Hept G.B., The Chaotic Development of Infrared System for Tactical Aviation via internet: thesis, Air University (Air College: Alabma, (2000).
4. Patel C.K.N., Phys. Rev. Lett., vol.12, 1964, p.588.
5. Stark D.S., Cross P.H. and Soster H., IEEE J.Quantum Electron., vol.11, 1975, p.774.
6. A.V. Jelalian, Laser Focus, April 1982, p.57.
7. Roche X. et.al. (2002) Lambda Recsearch corporation Via Internet:<http://www.lambdares.com>.
8. Ikarashi N. et al., Phys. Rev. Lett., vol.72, 1994, p.3198.
9. Hokozone H. and Kobayashi H., IEEE J. of Quantum Electron., vol.28,no.8, 1992.
10. Gregg S.J. and Sing K.S., Adsorption-surface area and porosity, 2nd edition, Academic Press, Inc.(London), 1982, p.26, 23.

جدول (1) مواصفات العدسة المستخدمة

Lens type	R ₁ (mm)	R ₂ (mm)	F (mm)	Thick (mm)	D _{obj} (mm)	D _{exit} (mm)	Sph. Abb.	Ast. Abb.	Comma	BFL	EFL
Eye	16.065		-11.44	1.7	5	7.9	0.302	0.0002	0.0078	-11.44	-11.4
Obj lens	51.15	121.294	61.44	3	21	25	-0.137	0.00066	8.95x10 ⁻⁶	59.33	61.44

جدول (2) تغير قطر حزمة الليزر مع المسافة R.

R(km)	R x α_L	D _r (m)
2	2 x 0.254	0.509
5	5 x 0.254	1.27
10	10 x 0.254	2.54
15	15 x 0.254	-

جدول (3) تغير مقدار النفاذية مع المسافة R و V_m للطول الموجي 10.6 μ m.

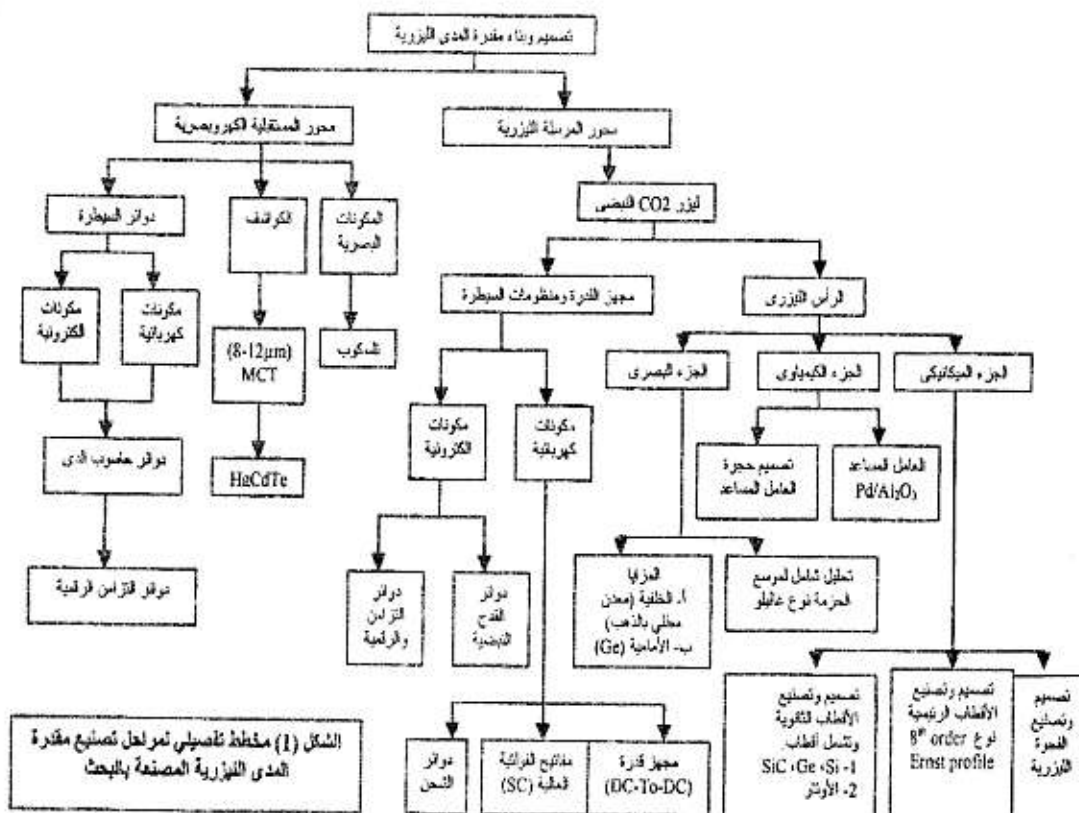
R(km) \ V _m (km)	2	3	5
2	0.644	0.806	0.923
5	0.332	0.583	0.818
10	0.11	0.34	0.78

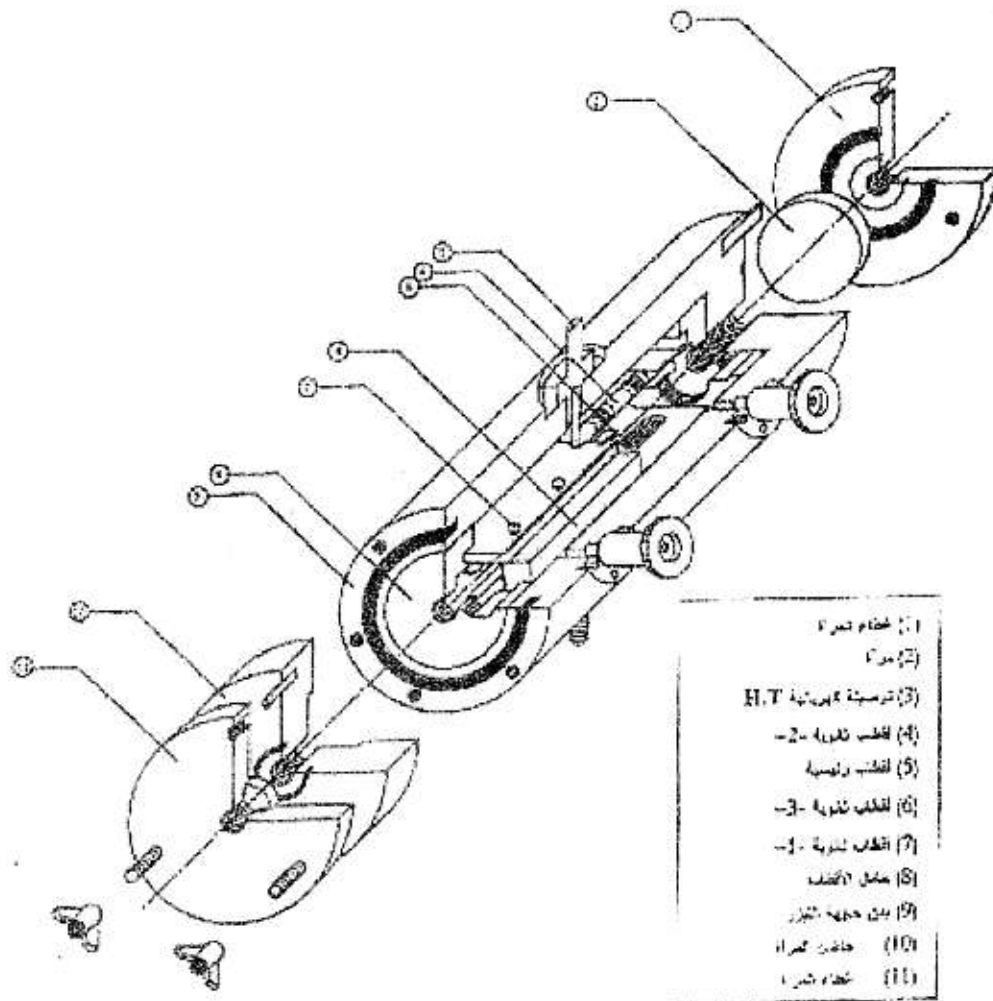
الجدول (4) مواصفات المرسلات الليزرية المصنعة مع بصرياتها.

TRANSMITTER		
Mini-TEA CO ₂ laser		
Pulse energy		40-70 mJ
Peak power		0.3-0.6 MW
Pulse duration		100-120 ns
Pulse rise time		<20 ns
Mode		TEM ₀₀
Beam divergence		1.35 mrad
Beam diameter		5 mm
Repetition rate		1Hz
Size		18.2 cm ³ (130x20x6)mm ³
Laser head size		200x100 mm cylinder
Gas composition		8%CO ₂ , 8%N ₂ , 82%He, 2%CO
Transmitter Optics		
Magnification		5.3
Aperture size		2.5 cm
Beam divergence		0.254 mrad
Material		ZnSe or Ge

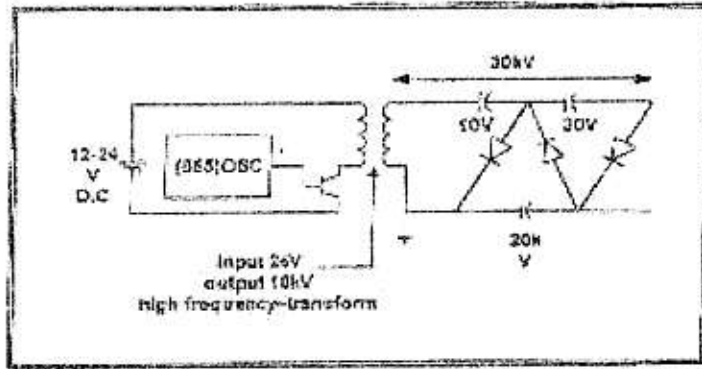
الجدول (5) مواصفات المستقبلية الليزرية المصنعة مع بصرياتها

RECEIVER		
Detector		
Type		HgCdTe
Band width		100 MHz
D*		6x10 ¹⁰ cm.Hz ^{1/2} . W ⁻¹
Diameter		0.25 cm
Cooling		Liquid N ₂ (77°K)
Receiver Optics		
Aperture		2.5cm
Focal length		6.145 cm
Field of view		0.932 mrad
Material		ZnSe

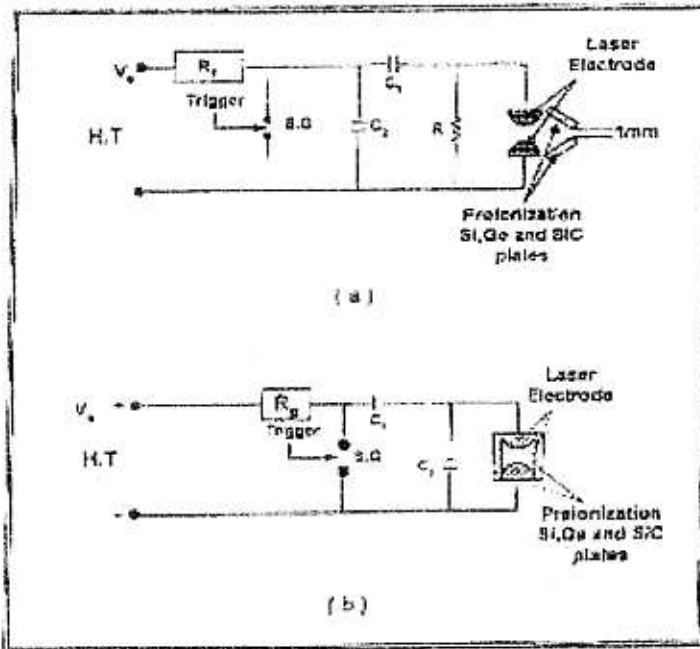




شكل (2) تركيب العام للمنظومة المساعدة.

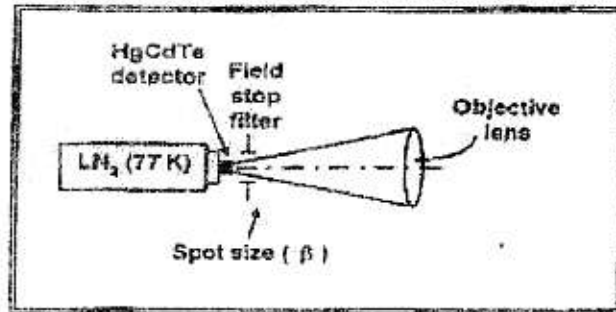


شكل (3) جهاز القدرة المصنع.

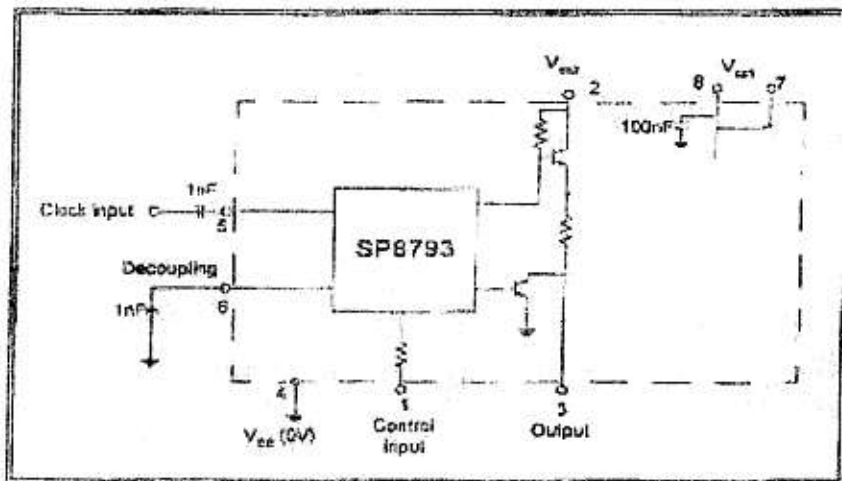


شكل (4) يوضح مخطط الدارة الكهربائية لليزر لاسر حقة استخدام أقطاب شبه موصلة لتأين الأيونات:

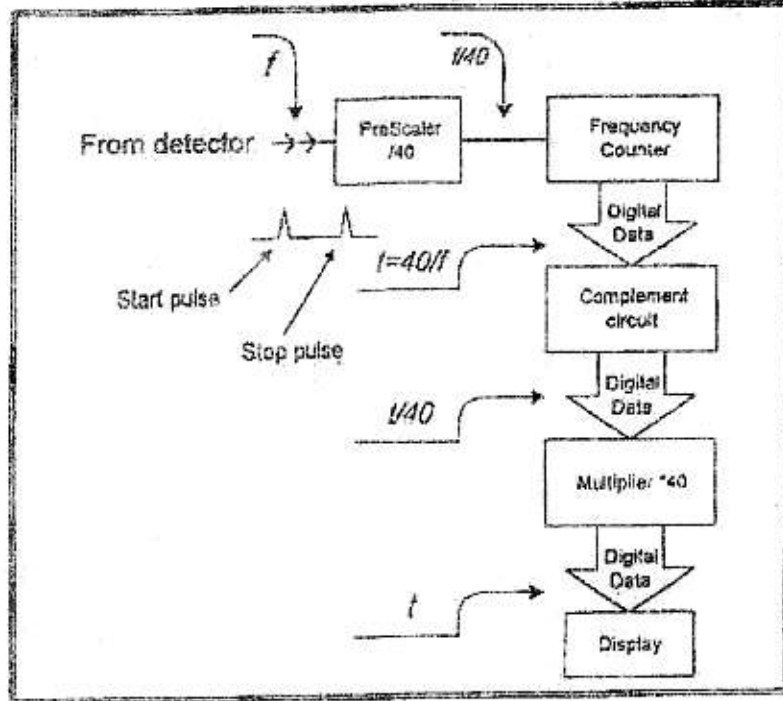
- a. أقطاب التأين الأيون على شكل حرف V.
- b. أقطاب التأين الأيون على شكل مستوي.



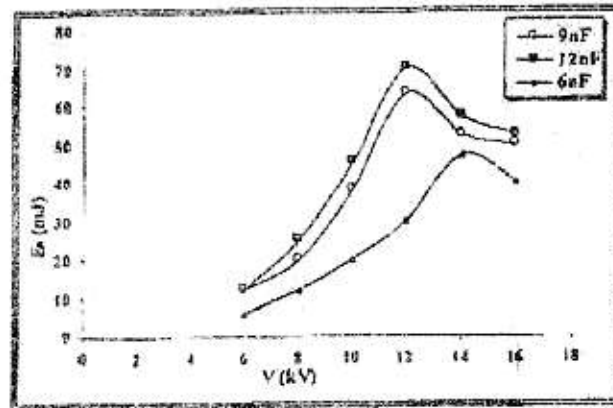
شكل (5) يوضح ترتيب أجزاء المستقبلة الليزرية.



شكل (6) يبين ربط الدارة المتكاملة (SP8793).



شكل (2) دائرة حساب المدى.



شكل (3): تغير الطاقة الخارجة مع الفولتية المسلطة لمختلف مسعات الشحن والخاصة بطريقة شبيه الموصل نوع SiC